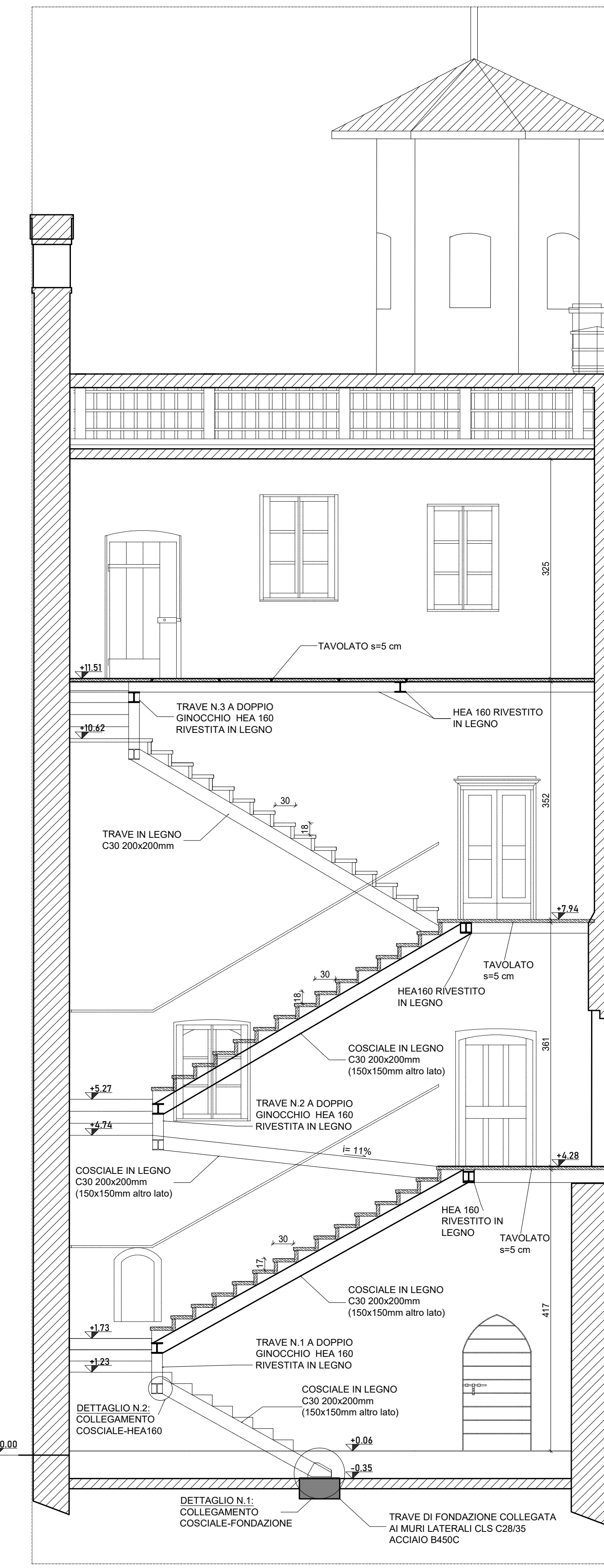


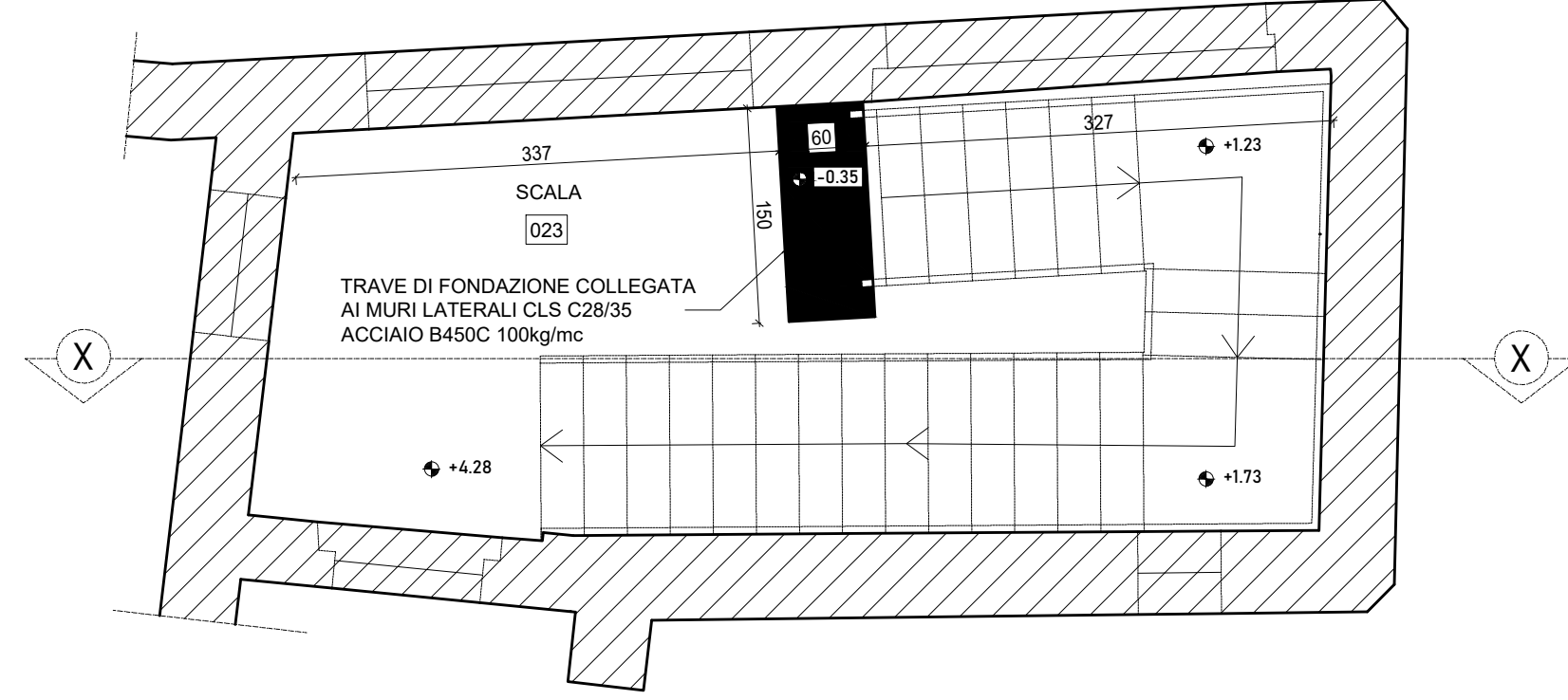
INTERVENTO N°2 - NUOVA SCALA CORTILE AVIGLIANA

SEZIONE X-X
SCALA 1:50

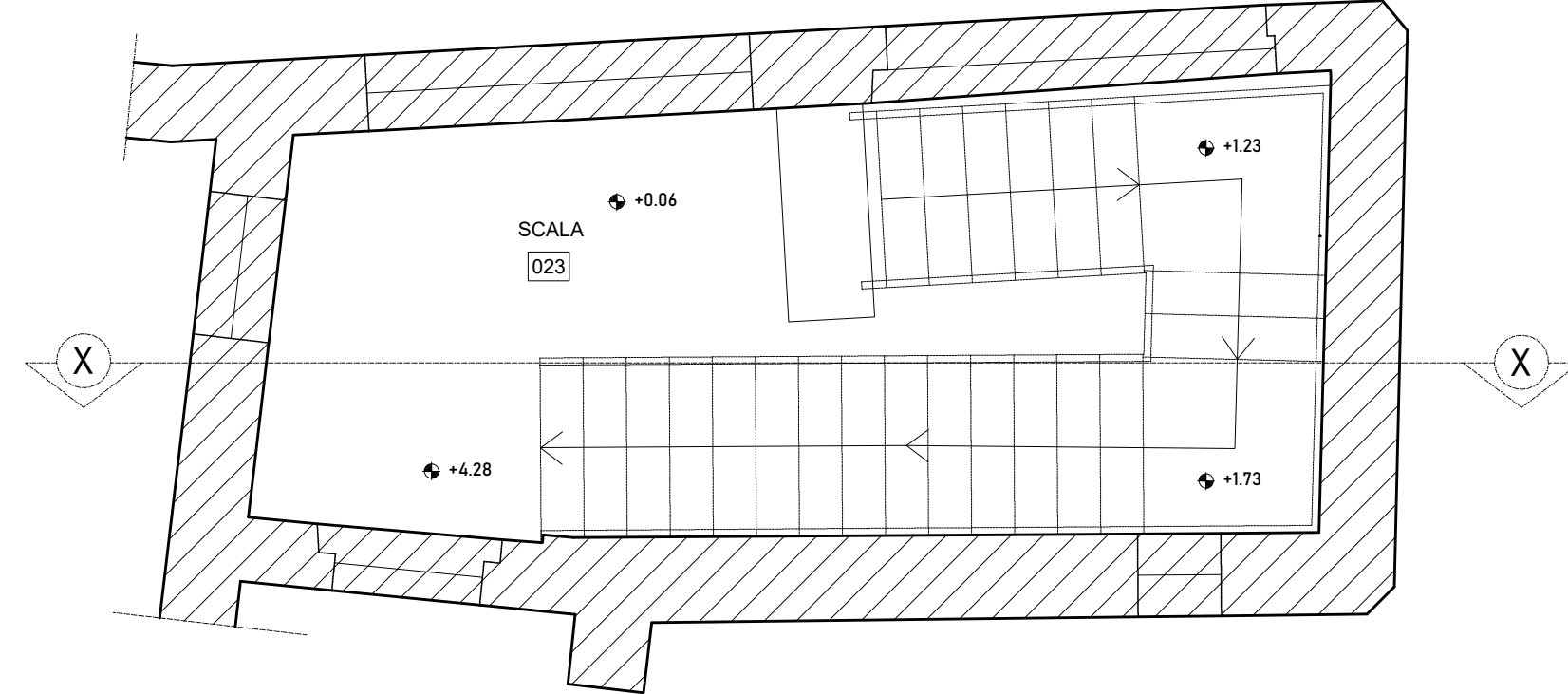


N.B.: LE TRAVI L100x10 DEI PIANEROTTOLI SARANNO ANCORATE ALLA MURATURA

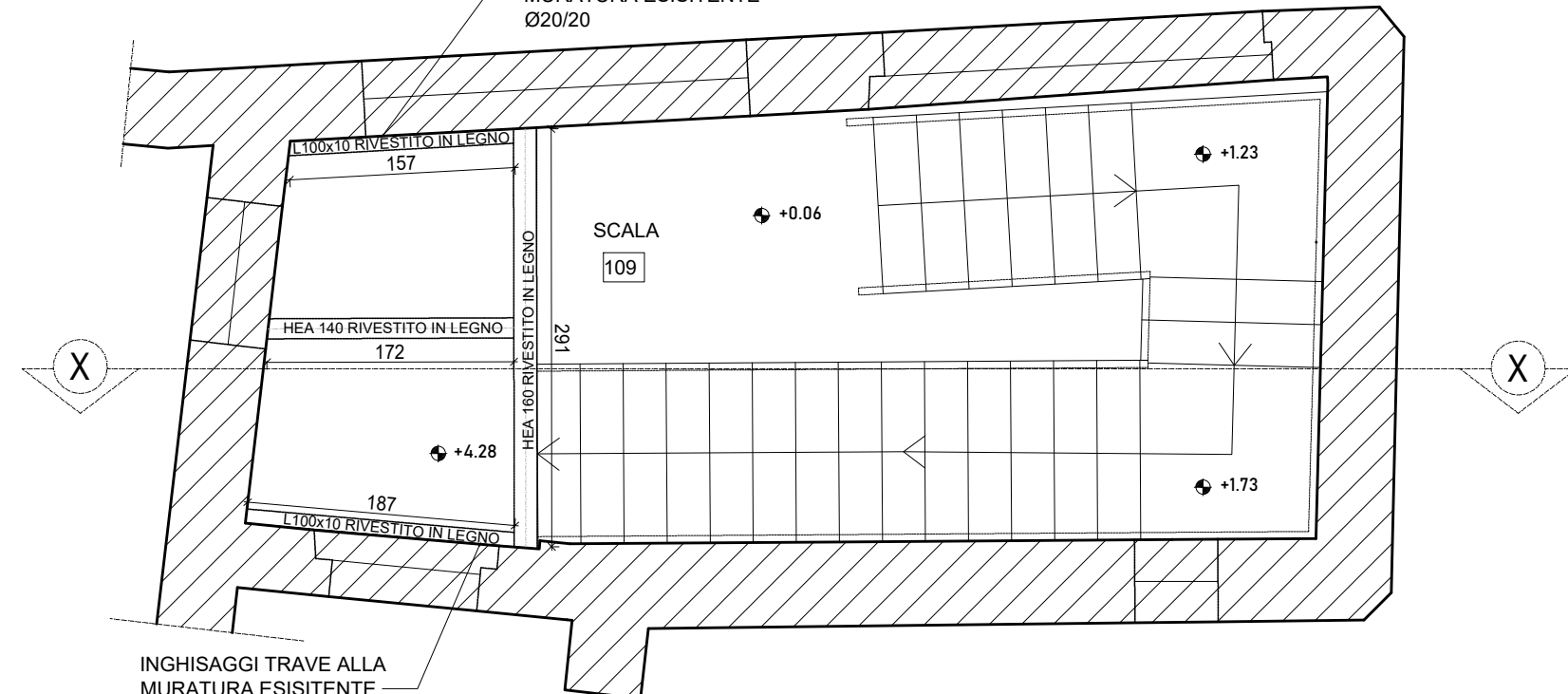
FONDAZIONE SCALA - quota estradosso -0.35 m
SCALA 1:50



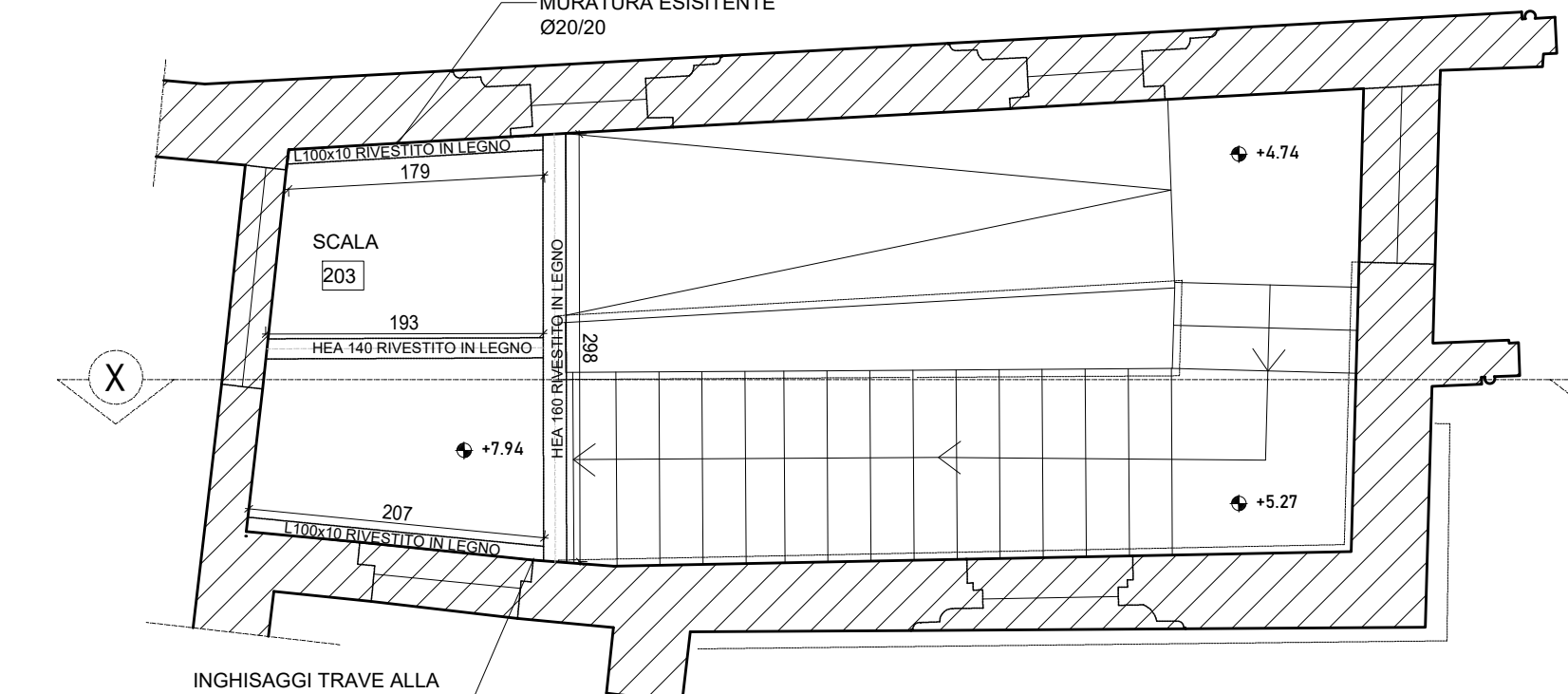
PIANO TERRA - quota +0.06 m
SCALA 1:50



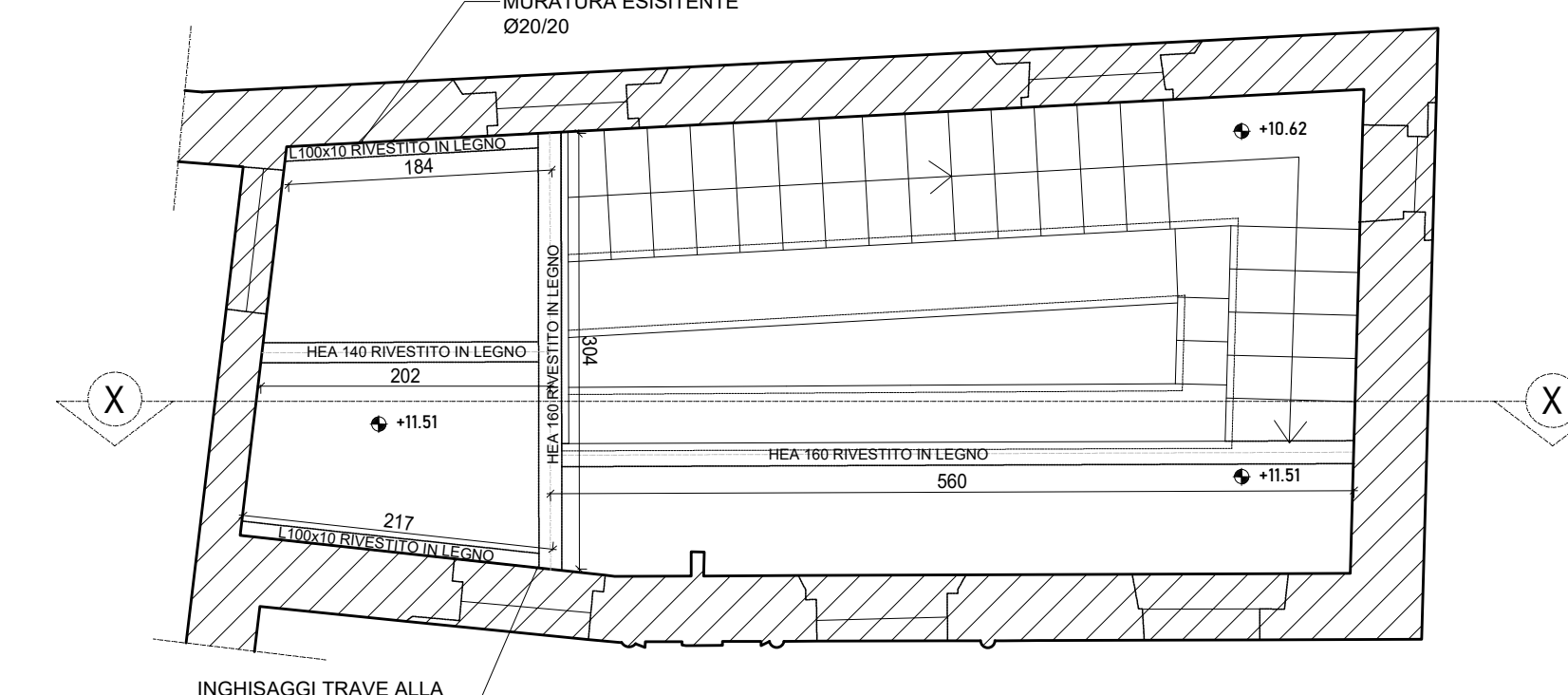
PIANO PRIMO - quota +4.28 m
SCALA 1:50



PIANO SECONDO - quota +7.94 m
SCALA 1:50

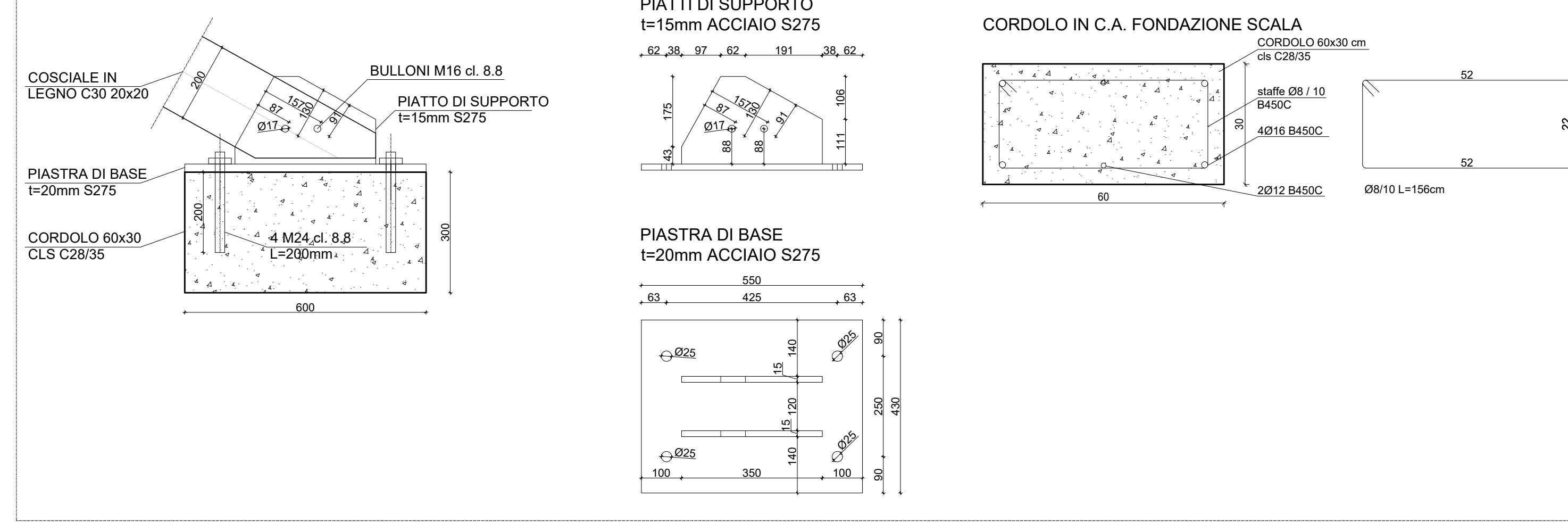


PIANO TERZO - quota +11.51 m
SCALA 1:50



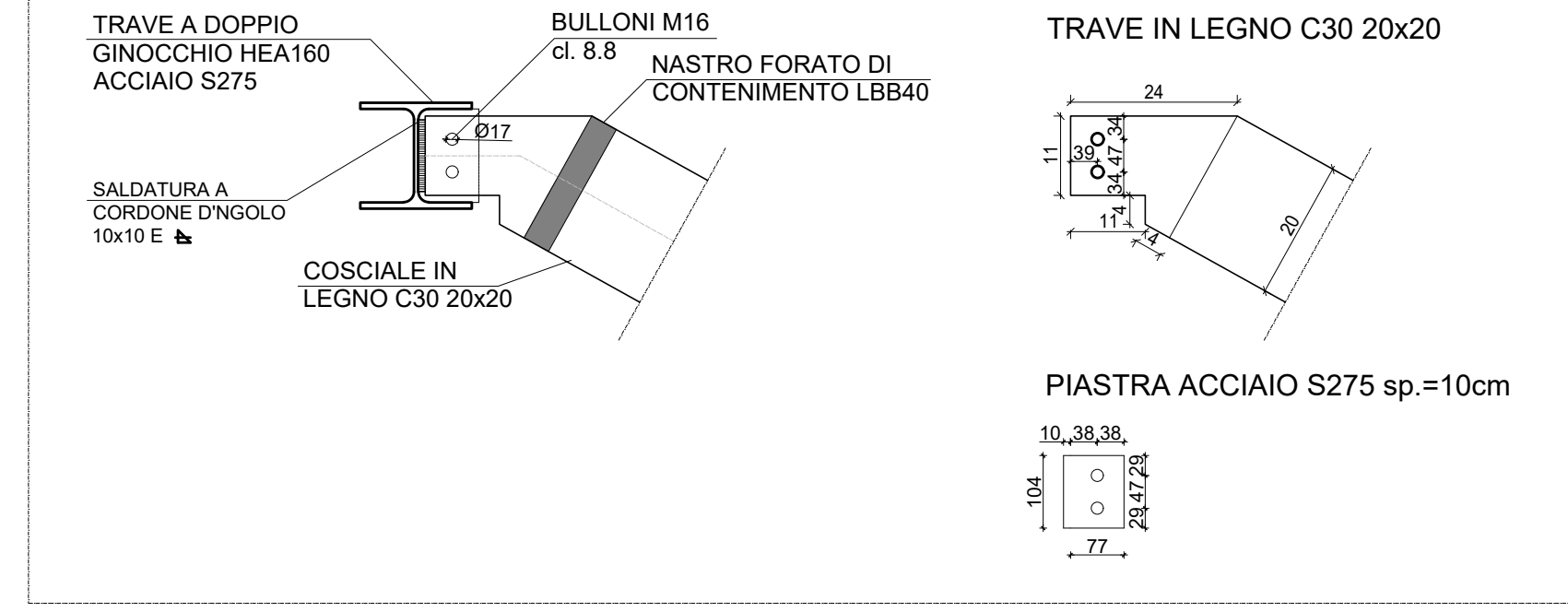
DETTAGLIO N.1: COLLEGAMENTO COSCIALE-FONDAZIONE

SCALA 1:10



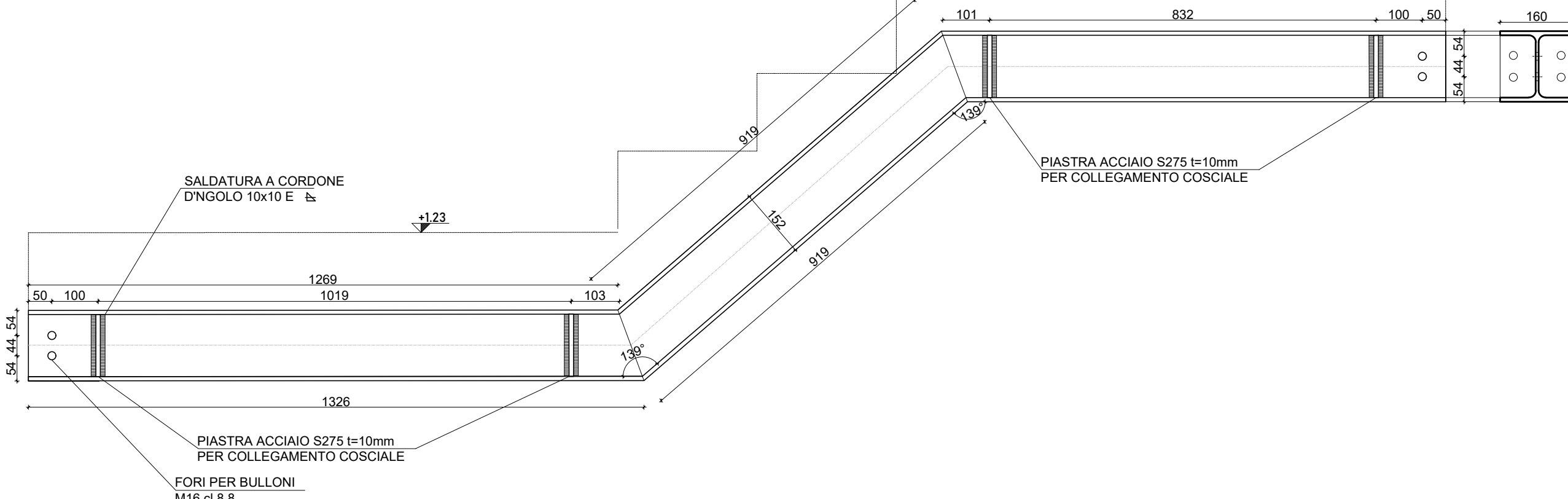
DETTAGLIO N.2: COLLEGAMENTO COSCIALE-TRAVE HEA160

SCALA 1:10



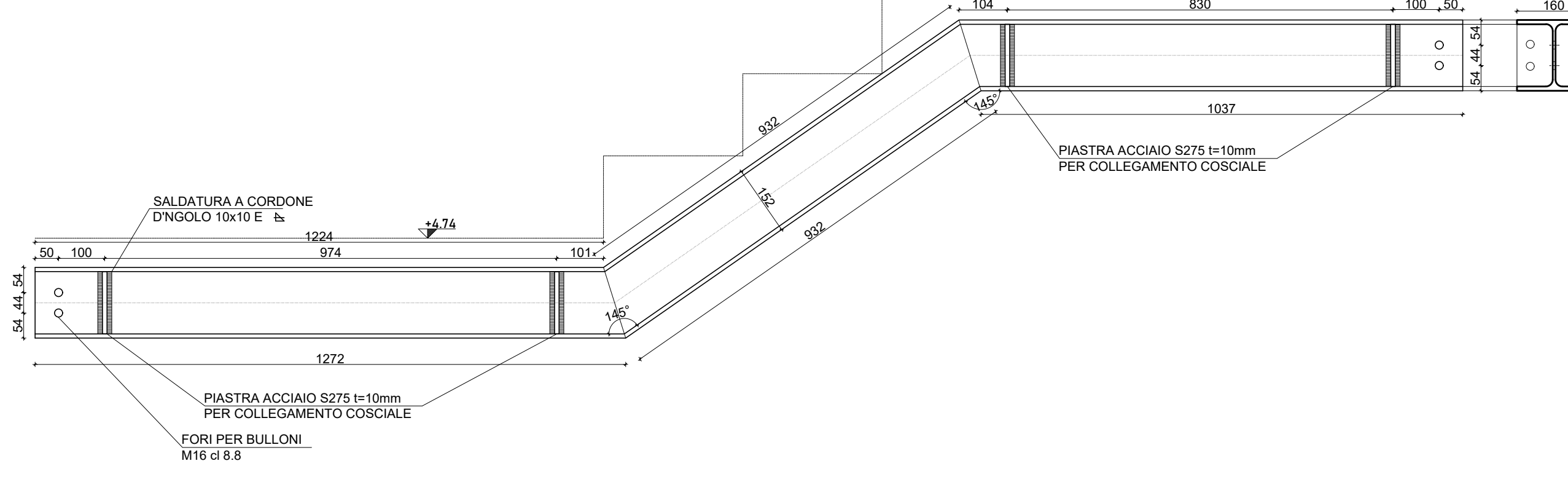
TRAVE N.1 A DOPPIO GINOCCHIO HEA 160

SCALA 1:10



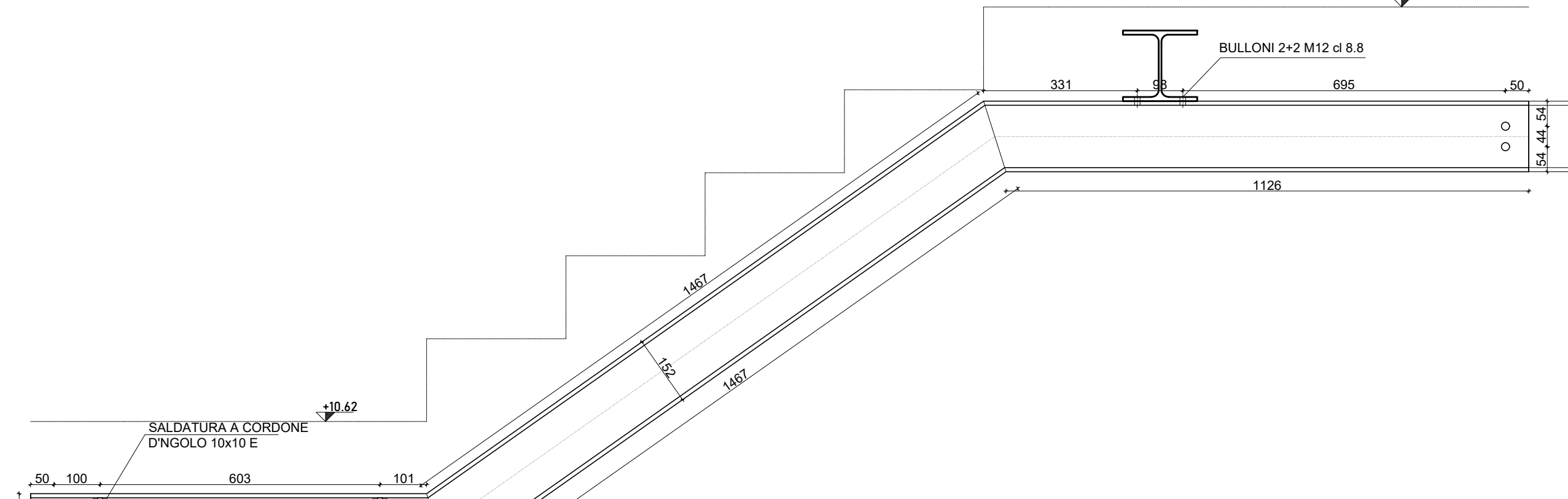
TRAVE N.2 A DOPPIO GINOCCHIO HEA 160

SCALA 1:10



TRAVE N.3 A DOPPIO GINOCCHIO HEA 160

SCALA 1:10



LOCALIZZAZIONE DEGLI INTERVENTI

- INTERVENTO N°1
- INTERVENTO N°2
- INTERVENTO N°3
- INTERVENTO N°4
- INTERVENTO N°5
- INTERVENTO N°6
- INTERVENTO N°7
- INTERVENTO N°8
- INTERVENTO N°9

TIPOLOGIE SOLAI E SOLETTE

N°	DESCRIZIONE	TIPO SOLAIO		CARICHI		VARIABILE DI CARICO
		ALTEZZA (cm)	RISULTO (kg/m²)	RISULTO (kg/m²)	STRUTT. (kg/m²)	
1	SOLAIO IN ALAMBRA GREGATA	8,5	111	204	204	600

MATERIALI	TIPO E NORME DI RIFERIMENTO	NOTE
CALCESTRUZZO	C28/35 (UNI EN 206:2006; UNI 11104:2004) - fondazioni	CLASSE DI RESISTENZA f _{ck} ≥28 N/mm²; f _{ctd} ≥16 N/mm²
STRUTTURE FONDAZIONE	XC2 (UNI EN 206-1:2006; UNI 11104:2004)	CLASSE DI ESPOSIZIONE PER LE STRUTTURE DI FONDAZIONE
	S4 (UNI EN 206-1:2006; UNI 11104:2004)	CLASSE DI CONSISTENZA PER TUTTE LE STRUTTURE
	D _{max} ≤20mm	DIMENSIONI INERTI
	al-c<0.60	RAPPORTO ACQUA/CEMENTAZIONE
CALCESTRUZZO LEGGERO STRUTTURALE	LC 30/33 (v. §§4.3.1 UNI-EN 206-1:2006)	CLASSE DI RESISTENZA f _{ck} ≥30 N/mm²; f _{ctd} ≥13 N/mm²
ACCIAIO PER ARMATURE C.A.	B450C (v. §§11.3.2.1 e 11.3.2.4 - D.M.'18)	f _{yk} ≥450 N/mm²; f _{td} ≥240 N/mm²; f _{ctd} ≥13 N/mm²; f _{ctd} ≥13 N/mm²; A _g ≥0,25%
ACCIAIO DA CARPENTERIA METALLICA	S275JR (v. §§11.3.4.1 D.M.'18; UNI-EN 10025-2) elementi laminati a caldo S275JRH (v. §§11.3.4.1 D.M.'18; UNI-EN 10210-2) elementi dadi laminati a caldo	f _{yk} ≥275 N/mm²; f _{td} ≥140 N/mm²; f _{ctd} ≥13 N/mm²; f _{ctd} ≥13 N/mm²; A _g ≥0,25 N/mm²; f _{ctd} ≥13 N/mm²; f _{ctd} ≥13 N/mm²; A _g ≥0,25 N/mm²
BULLONERIA E BARRE FILETTATE	VITI classe 8.8 (v. §§11.3.4.6, D.M.'18; UNI-EN 15048-1) DADI classe 8 (v. §§11.3.4.6, D.M.'18; UNI-EN 15048-1) ROSETTE PIANE durezza 100HV (v. §§11.3.4.6 D.M.'18; UNI-EN 15048-1)	f _{yk} ≥800 N/mm²; f _{td} ≥400 N/mm²
LEGNO MASSICCIO - CONFERE	C30 (UNI-EN 338:2016)	Classe di resistenza f _{yk} ≥30 N/mm²; f _{td} ≥18 N/mm²; f _{ctd} ≥13 N/mm²; f _{ctd} ≥13 N/mm²; E _{0,05} ≥10.000 N/mm²; E _{0,1} ≥10.000 N/mm²; E _{0,2} ≥10.000 N/mm²; E _{0,5} ≥10.000 N/mm²; E _{1,0} ≥10.000 N/mm²; E _{2,0} ≥10.000 N/mm²; E _{5,0} ≥10.000 N/mm²; E _{10,0} ≥10.000 N/mm²; E _{15,0} ≥10.000 N/mm²; E _{20,0} ≥10.000 N/mm²; E _{30,0} ≥10.000 N/mm²; E _{40,0} ≥10.000 N/mm²; E _{50,0} ≥10.000 N/mm²; E _{60,0} ≥10.000 N/mm²; E _{70,0} ≥10.000 N/mm²; E _{80,0} ≥10.000 N/mm²; E _{90,0} ≥10.000 N/mm²; E _{100,0} ≥10.000 N/mm²; E _{110,0} ≥10.000 N/mm²; E _{120,0} ≥10.000 N/mm²; E _{130,0} ≥10.000 N/mm²; E _{140,0} ≥10.000 N/mm²; E _{150,0} ≥10.000 N/mm²; E _{160,0} ≥10.000 N/mm²; E _{170,0} ≥10.000 N/mm²; E _{180,0} ≥10.000 N/mm²; E _{190,0} ≥10.000 N/mm²; E _{200,0} ≥10.000 N/mm²; E _{210,0} ≥10.000 N/mm²; E _{220,0} ≥10.000 N/mm²; E _{230,0} ≥10.000 N/mm²; E _{240,0} ≥10.000 N/mm²; E _{250,0} ≥10.000 N/mm²; E _{260,0} ≥10.000 N/mm²; E _{270,0} ≥10.000 N/mm²; E _{280,0} ≥10.000 N/mm²; E _{290,0} ≥10.000 N/mm²; E _{300,0} ≥10.000 N/mm²; E _{310,0} ≥10.000 N/mm²; E _{320,0} ≥10.000 N/mm²; E _{330,0} ≥10.000 N/mm²; E _{340,0} ≥10.000 N/mm²; E _{350,0} ≥10.000 N/mm²; E _{360,0} ≥10.000 N/mm²; E _{370,0} ≥10.000 N/mm²; E _{380,0} ≥10.000 N/mm²; E _{390,0} ≥10.000 N/mm²; E _{400,0} ≥10.000 N/mm²; E _{410,0} ≥10.000 N/mm²; E _{420,0} ≥10.000 N/mm²; E _{430,0} ≥10.000 N/mm²; E _{440,0} ≥10.000 N/mm²; E _{450,0} ≥10.000 N/mm²; E _{460,0} ≥10.000 N/mm²; E _{470,0} ≥10.000 N/mm²; E _{480,0} ≥10.000 N/mm²; E _{490,0} ≥10.000 N/mm²; E _{500,0} ≥10.000 N/mm²; E _{510,0} ≥10.000 N/mm²; E _{520,0} ≥10.000 N/mm²; E _{530,0} ≥10.000 N/mm²; E _{540,0} ≥10.000 N/mm²; E _{550,0} ≥10.000 N/mm²; E _{560,0} ≥10.000 N/mm²; E _{570,0} ≥10.000 N/mm²; E _{580,0} ≥10.000 N/mm²; E _{590,0} ≥10.000 N/mm²; E _{600,0} ≥10.000 N/mm²; E _{610,0} ≥10.000 N/mm²; E _{620,0} ≥10.000 N/mm²; E _{630,0} ≥10.000 N/mm²; E _{640,0} ≥10.000 N/mm²; E _{650,0} ≥10.000 N/mm²; E _{660,0} ≥10.000 N/mm²; E _{670,0} ≥10.000 N/mm²; E _{680,0} ≥10.000 N/mm²; E _{690,0} ≥10.000 N/mm²; E _{700,0} ≥10.000 N/mm²; E _{710,0} ≥10.000 N/mm²; E _{720,0} ≥10.000 N/mm²; E _{730,0} ≥10.000 N/mm²; E _{740,0} ≥10.000 N/mm²; E _{750,0} ≥10.000 N/mm²; E _{760,0} ≥10.000 N/mm²; E _{770,0} ≥10.000 N/mm²; E _{780,0} ≥10.000 N/mm²; E _{790,0} ≥10.000 N/mm²; E _{800,0} ≥10.000 N/mm²; E _{810,0} ≥10.000 N/mm²; E _{820,0} ≥10.000 N/mm²; E _{830,0} ≥10.000 N/mm²; E _{840,0} ≥10.000 N/mm²; E _{850,0} ≥10.000 N/mm²; E _{860,0} ≥10.000 N/mm²; E _{870,0} ≥10.000 N/mm²; E _{880,0} ≥10.000 N/mm²; E _{890,0} ≥10.000 N/mm²; E _{900,0} ≥10.000 N/mm²; E _{910,0} ≥10.000 N/mm²; E _{920,0} ≥10.000 N/mm²; E _{930,0} ≥10.000 N/mm²; E _{940,0} ≥10.000 N/mm²; E _{950,0} ≥10.000 N/mm²; E _{960,0} ≥10.000 N/mm²; E _{970,0} ≥10.000 N/mm²; E _{980,0} ≥10.000 N/mm²; E _{990,0} ≥10.000 N/mm²; E _{1000,0} ≥10.000 N/mm²; E _{1010,0} ≥10.000 N/mm²; E _{1020,0} ≥10.000 N/mm²; E _{1030,0} ≥10.000 N/mm²; E _{1040,0} ≥10.000 N/mm²; E _{1050,0} ≥10.000 N/mm²; E _{1060,0} ≥10.000 N/mm²; E _{1070,0} ≥10.000 N/mm²; E _{1080,0} ≥10.000 N/mm²; E _{1090,0} ≥10.000 N/mm²; E _{1100,0} ≥10.000 N/mm²; E _{1110,0} ≥10.000 N/mm²; E _{1120,0} ≥10.000 N/mm²; E _{1130,0} ≥10.000 N/mm²; E _{1140,0} ≥10.000 N/mm²; E _{1150,0} ≥10.000 N/mm²; E _{1160,0} ≥10.000 N/mm²; E _{1170,0} ≥10.000 N/mm²; E _{1180,0} ≥10.000 N/mm²; E _{1190,0} ≥10.000 N/mm²; E _{1200,0} ≥10.000 N/mm²; E _{1210,0} ≥10.000 N/mm²; E _{1220,0} ≥10.000 N/mm²; E _{1230,0} ≥10.000 N/mm²; E _{1240,0} ≥10.000 N/mm²; E _{1250,0} ≥10.000 N/mm²; E _{1260,0} ≥10.000 N/mm²; E _{1270,0} ≥10.000 N/mm²; E _{1280,0} ≥10.000 N/mm²; E _{1290,0} ≥10.000 N/mm²; E _{1300,0} ≥10.000 N/mm²; E _{1310,0} ≥10.000 N/mm²; E _{1320,0} ≥10.000 N/mm²; E _{1330,0} ≥10.000 N/mm²; E _{1340,0} ≥10.000 N/mm²; E _{1350,0} ≥10.000 N/mm²; E _{1360,0} ≥10.000 N/mm²; E _{1370,0} ≥10.000 N/mm²; E _{1380,0} ≥10.000 N/mm²; E _{1390,0} ≥10.000 N/mm²; E _{1400,0} ≥10.000 N/mm²; E _{1410,0} ≥10.000 N/mm²; E _{1420,0} ≥10.000 N/mm²; E _{1430,0} ≥10.000 N/mm²; E _{1440,0} ≥10.000 N/mm²; E _{1450,0} ≥10.000 N/mm²; E _{1460,0} ≥10.000 N/mm²; E _{1470,0} ≥10.000 N/mm²; E _{1480,0} ≥10.000 N/mm²; E _{1490,0} ≥10.000 N/mm²; E _{1500,0} ≥10.000 N/mm²; E _{1510,0} ≥10.000 N/mm²; E _{1520,0} ≥10.000 N/mm²; E _{1530,0} ≥10.000 N/mm²; E _{1540,0} ≥10.000 N/mm²; E _{1550,0} ≥10.000 N/mm²; E _{1560,0} ≥10.000 N/mm²; E _{1570,0} ≥10.000 N/mm²; E _{1580,0} ≥10.000 N/mm²; E _{1590,0} ≥10.000 N/mm²; E _{1600,0} ≥10.000 N/mm²; E _{1610,0} ≥10.000 N/mm²; E _{1620,0} ≥10.000 N/mm²; E _{1630,0} ≥10.000 N/mm²; E _{1640,0} ≥10.000 N/mm²; E _{1650,0} ≥10.000 N/mm²; E _{1660,0} ≥10.000 N/mm²; E _{1670,0} ≥10.000 N/mm²; E _{1680,0} ≥10.000 N/mm²; E _{1690,0} ≥10.000 N/mm²; E _{1700,0} ≥10.000 N/mm²; E _{1710,0} ≥10.000 N/mm²; E _{1720,0} ≥10.000 N/mm²; E _{1730,0} ≥10.000 N/mm²; E _{1740,0} ≥10.000 N/mm²; E _{1750,0} ≥10.000 N/mm²; E _{1760,0} ≥10.000 N/mm²; E _{1770,0} ≥10.000 N/mm²; E _{1780,0} ≥10.000 N/mm²; E _{1790,0} ≥10.000 N/mm²; E _{1800,0} ≥10.000 N/mm²; E _{1810,0} ≥10.000 N/mm²; E _{1820,0} ≥10.000 N/mm²; E _{1830,0} ≥10.000 N/mm²; E _{1840,0} ≥10.000 N/mm²; E _{1850,0} ≥10.000 N/mm²; E _{1860,0} ≥10.000 N/mm²; E _{1870,0} ≥10.000 N/mm²; E _{1880,0} ≥10.000 N/mm²; E _{1890,0} ≥10.000 N/mm²; E _{1900,0} ≥10.000 N/mm²; E _{1910,0} ≥10.000 N/mm²; E _{1920,0} ≥10.000 N/mm²; E _{1930,0} ≥10.000 N/mm²; E _{1940,0} ≥10.000 N/mm²; E _{1950,0} ≥10.000 N/mm²; E _{1960,0} ≥10.000 N/mm²; E _{1970,0} ≥10.000 N/mm²; E _{1980,0} ≥10.000 N/mm²; E _{1990,0} ≥10.000 N/mm²; E _{2000,0} ≥10.000 N/mm²; E _{2010,0} ≥10.000 N/mm²; E _{2020,0} ≥10.000 N/mm²; E _{2030,0} ≥10.000 N/mm²; E _{2040,0} ≥10.000 N/mm²; E _{2050,0} ≥10.000 N/mm²; E _{2060,0} ≥10.000 N/mm²; E _{2070,0} ≥10.000 N/mm²; E _{2080,0} ≥10.000 N/mm²; E _{2090,0} ≥10.000 N/mm²; E _{2100,0} ≥10.000 N/mm²; E _{2110,0} ≥10.000 N/mm²; E _{2120,0} ≥10.000 N/mm²; E _{2130,0} ≥10.000 N/mm²; E _{2140,0} ≥10.000 N/mm²; E _{2150,0} ≥10.000 N/mm²; E _{2160,0} ≥10.000 N/mm²; E _{2170,0} ≥10.000 N/mm²; E _{2180,0} ≥10.000 N/mm²; E _{2190,0} ≥10.000 N/mm²; E _{2200,0} ≥10.000 N/mm²; E _{2210,0} ≥10.000 N/mm²; E _{2220,0} ≥10.000 N/mm²; E _{2230,0} ≥10.000 N/mm²; E _{2240,0} ≥10.000 N/mm²; E _{2250,0} ≥10.000 N/mm²; E _{2260,0} ≥10.000 N/mm²; E _{2270,0} ≥10.000 N/mm²; E _{2280,0} ≥10.000 N/mm²; E _{2290,0} ≥10.000 N/mm²; E _{2300,0} ≥10.000 N/mm²; E _{2310,0} ≥10.000 N/mm²; E _{2320,0} ≥10.000 N/mm²; E _{2330,0} ≥10.000 N/mm²; E _{2340,0} ≥10.000 N/mm²; E _{2350,0} ≥10.000 N/mm²; E _{2360,0} ≥10.000 N/mm²; E _{2370,0} ≥10.000 N/mm²; E _{2380,0} ≥10.000 N/mm²; E _{2390,0} ≥10.000 N/mm²; E _{2400,0} ≥10.000 N/mm²; E _{2410,0} ≥10.000 N/mm²; E _{2420,0} ≥10.000 N/mm²; E _{2430,0} ≥10.000 N/mm²; E _{2440,0} ≥10.000 N/mm²; E _{2450,0} ≥10.000 N/mm²; E _{2460,0} ≥10.000 N/mm²; E _{2470,0} ≥10.000 N/mm²; E _{2480,0} ≥10.000 N/mm²; E _{2490,0} ≥10.000 N/mm²; E _{2500,0} ≥10.000 N/mm²; E _{2510,0} ≥10.000 N/mm²; E _{2520,0} ≥10.000 N/mm²; E _{2530,0} ≥10.000 N/mm²; E _{2540,0} ≥10.000 N/mm²; E _{2550,0} ≥10.000 N/mm²; E _{2560,0} ≥10.000 N/mm²; E _{2570,0} ≥10.000 N/mm²; E _{2580,0} ≥10.000 N/mm²; E _{2590,0} ≥10.000 N/mm²; E _{2600,0} ≥10.000 N/mm²; E _{2610,0} ≥10.000 N/mm²; E _{2620,0} ≥10.000 N/mm²; E _{2630,0} ≥10.000 N/mm²; E _{2640,0} ≥10.000 N/mm²; E _{2650,0} ≥10.000 N/mm²; E _{2660,0} ≥10.000 N/mm²; E _{2670,0} ≥10.000 N/mm²; E _{2680,0} ≥10.000 N/mm²; E _{2690,0} ≥10.000 N/mm²; E _{2700,0} ≥10.000 N/mm²; E _{2710,0} ≥10.000 N/mm²; E _{2720,0} ≥10.000 N/mm²; E _{2730,0} ≥10.000 N/mm²; E _{2740,0} ≥10.000 N/mm²; E _{2750,0} ≥10.000 N/mm²; E _{2760,0} ≥10.000 N/mm²; E _{2770,0} ≥10.000 N/mm²; E _{2780,0} ≥10.000 N/mm²; E _{2790,0} ≥10.000 N/mm²; E _{2800,0} ≥10.000 N/mm²; E _{2810,0} ≥10.000 N/mm²; E _{2820,0} ≥10.000 N/mm²; E _{2830,0} ≥10.000 N/mm²; E _{2840,0} ≥10.000 N/mm²; E _{2850,0} ≥10.000 N/mm²; E _{2860,0} ≥10.000 N/mm²; E _{2870,0} ≥10.000 N/mm²; E _{2880,0} ≥10.000 N/mm²; E _{2890,0} ≥10.000 N/mm²; E _{2900,0} ≥10.000 N/mm²; E _{2910,0} ≥10.000 N/mm²; E _{2920,0} ≥10.000 N/mm²; E _{2930,0} ≥10.000 N/mm²; E _{2940,0} ≥10.000 N/mm²; E _{2950,0} ≥10.000 N/mm²; E _{2960,0} ≥10.000 N/mm²; E _{2970,0} ≥10.000 N/mm²; E _{2980,0} ≥10.000 N/mm²; E _{2990,0} ≥10.000 N/mm²; E _{3000,0} ≥10.000 N/mm²; E _{3010,0} ≥10.000 N/mm²; E _{3020,0} ≥10.000 N/mm²; E _{3030,0} ≥10.000 N/mm²; E _{3040,0} ≥10.000 N/mm²; E _{3050,0} ≥10.000 N/mm²; E _{3060,0} ≥10.000 N/mm²; E _{3070,0} ≥10.000 N/mm²; E _{3080,0} ≥10.000 N/mm²; E _{3090,0} ≥10.000 N/mm²; E _{3100,0} ≥10.000 N/mm²; E _{3110,0} ≥10.000 N/mm²; E _{3120,0} ≥10.000 N/mm²; E _{3130,0} ≥10.000 N/mm²; E _{3140,0} ≥10.000 N/mm²; E _{3150,0} ≥10.000 N/mm²; E _{3160,0} ≥10.000 N/mm²; E _{3170,0} ≥10.000 N/mm²; E _{3180,0} ≥10.000 N/mm²; E _{3190,0} ≥10.000 N/mm²; E _{3200,0} ≥10.000 N/mm²; E _{3210,0} ≥10.000 N/mm²; E _{3220,0} ≥10.000 N/mm²; E _{3230,0} ≥10.000 N/mm²; E _{3240,0} ≥10.000 N/mm²; E _{3250,0} ≥10.000 N/mm²; E _{3260,0} ≥10.000 N/mm²; E _{3270,0} ≥10.000 N/mm²; E _{3280,0} ≥10.000 N/mm²; E _{3290,0} ≥10.000 N/mm²; E _{3300,0} ≥10.000 N/mm²; E _{3310,0} ≥10.000 N/mm²; E _{3320,0} ≥10.000 N/mm²; E _{3330,0} ≥10.000 N/mm²; E _{3340,0} ≥10.000 N/mm²; E _{3350,0} ≥10.000 N/mm²; E _{3360,0} ≥10.000 N/mm²; E _{3370,0} ≥10.000 N/mm²; E _{3380,0} ≥10.000 N/mm²; E _{3390,0} ≥10.000 N/mm²; E _{3400,0} ≥10.000 N/mm²; E _{3410,0} ≥10.000 N/mm²; E _{3420,0} ≥10.000 N/mm²; E _{3430,0} ≥10.000 N/mm²; E _{3440,0} ≥10.000 N/mm²; E _{3450,0} ≥10.000 N/mm²; E _{3460,0} ≥10.000 N/mm²; E _{3470,0} ≥10.000 N/mm²; E _{3480,0} ≥10.000 N/mm²; E _{3490,0} ≥10.000 N/mm²; E _{3500,0} ≥10.000 N/mm²; E _{3510,0} ≥10.000 N/mm²; E _{3520,0} ≥10.000 N/mm²; E _{3530,0} ≥10.000 N/mm²; E _{3540,0} ≥10.000 N/mm²; E _{3550,0} ≥10.000 N/mm²; E _{3560,0} ≥10.000 N/mm²; E _{3570,0} ≥10.000 N/mm²; E _{3580,0} ≥10.000 N/mm²; E _{3590,0} ≥10.000 N/mm²; E _{3600,0} ≥10.000 N/mm²; E _{3610,0} ≥10.000 N/mm²; E _{3620,0} ≥10.000 N/mm²; E _{3630,0} ≥10.000 N/mm²; E _{3640,0} ≥10.000 N/mm²; E _{3650,0} ≥10.000 N/mm²; E _{3660,0} ≥10.000 N/mm²; E _{3670,0} ≥10.000 N/mm²; E _{3680,0} ≥10.000 N/mm²; E _{3690,0} ≥10.000 N/mm²; E _{3700,0} ≥10.000 N/mm²; E _{3710,0} ≥10.000